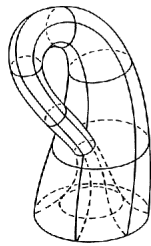
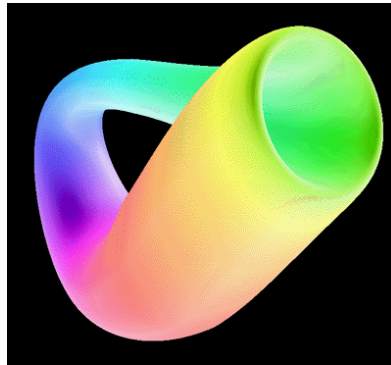


## MODELADO DE OBJETOS

*“El modelado geométrico se basa en la no diferenciación del espacio físico del espacio geométrico euclídeo pero la geometría euclidiana no siempre se corresponde con el espacio físico que nos rodea”*



Superficie de Klein



1

## MODELADO DE OBJETOS

1. Introducción
2. Modelos de fronteras
3. Transformaciones geométricas
4. Generación de modelos de fronteras
5. Modelos jerárquicos

### Anexos.

- I. Modelado de objetos naturales
- II. Rotoscoping 3D

2

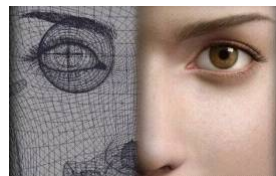
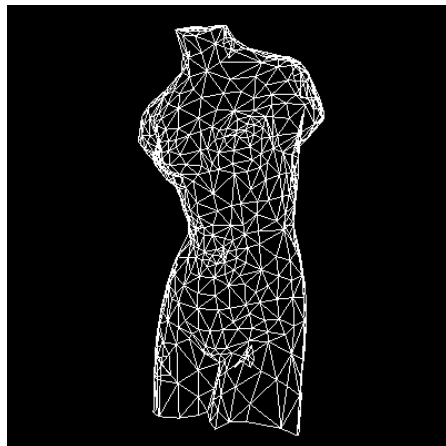
## 1. Introducción

- El modelado geométrico consiste en la construcción de un modelo matemático de la forma de un objeto físico tanto bidimensional como tridimensional
- Un modelo geométrico computacional será aproximado ya que no se puede representar en un ordenador toda la complejidad de un objeto real.
- Modelos geométricos computacionales de:
  - Curvas
  - Superficies
  - Sólidos

3

## 1. Introducción

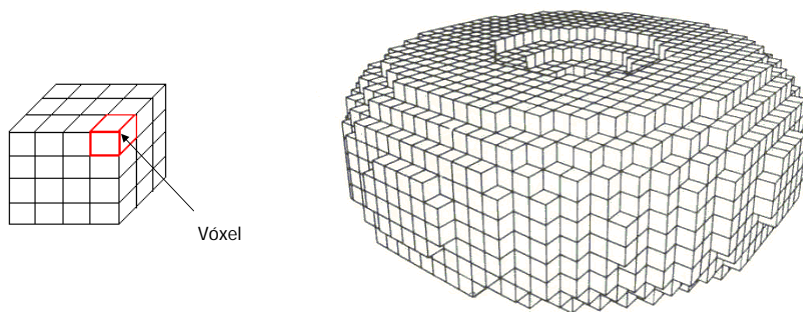
- Un sólido modelado por las fronteras (B-rep). Se representa por un conjunto de caras planas (polígonos) que delimitan su superficie.



4

## 1. Introducción

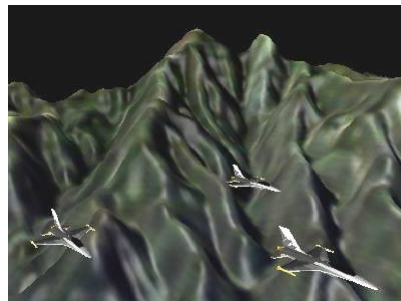
- Un sólido modelado por enumeración espacial se representa por un conjunto de volúmenes (vóxeles) que permiten modelar su interior.
  - La representación de un sólido con vóxeles es mediante una matriz tridimensional



5

## 1. Introducción

- Enumeración espacial



6

## 1. Introducción

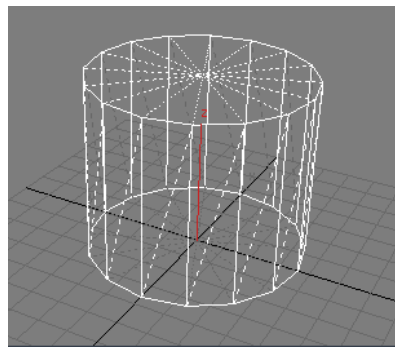
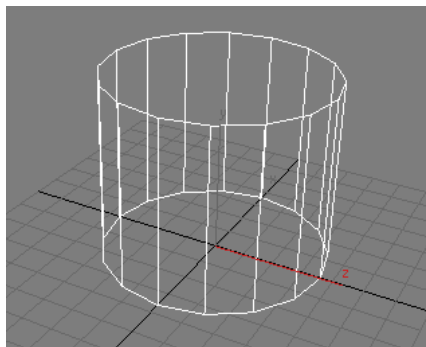
- Enumeración espacial: escultura digital (digital sculpting, volume sculpting, voxel sculpting)
  - Zbrush (<http://www.pixologic.com/zbrush/>)
  - Autodesk Mudbox
  - 3D-Coat (<https://3dcoat.com>)



7

## 2. Modelos de fronteras (B-rep)

- Se representan usando mallas de polígonos (caras planas)
- El número de vértices de las caras puede ser cualquiera
- Lo normal es considerar mallas formadas por triángulos



8

## 2. Modelos de fronteras (B-rep)

### 2.1. Lista de triángulos aislados

- La malla es una lista de triángulos

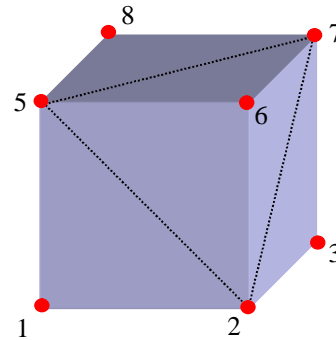
$x_1, y_1, z_1, \quad x_2, y_2, z_2, \quad x_5, y_5, z_5$

$x_7, y_7, z_7, \quad x_8, y_8, z_8, \quad x_5, y_5, z_5$

$x_2, y_2, z_2, \quad x_3, y_3, z_3, \quad x_7, y_7, z_7$

...

Cada entrada de la lista contiene  
los tres vértices de cada triángulo



9

## 2. Modelos de fronteras (B-rep)

### 2.2. Tiras de triángulos

- Cada triángulo de la tira comparte una arista y dos vértices, que "en principio" no hay que repetir

$x_0, y_0, z_0$

$x_1, y_1, z_1$

$x_2, y_2, z_2$

Las tres primeras entradas  
la lista de vértices  
definen el primer triángulo

$x_3, y_3, z_3$

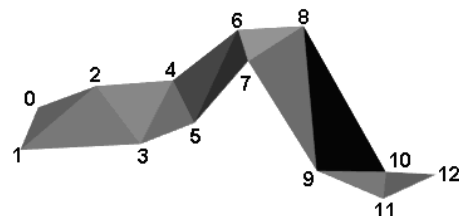
$x_4, y_4, z_5$

$x_5, y_5, z_5$

Resto de vértices

$x_6, y_6, z_6$

...

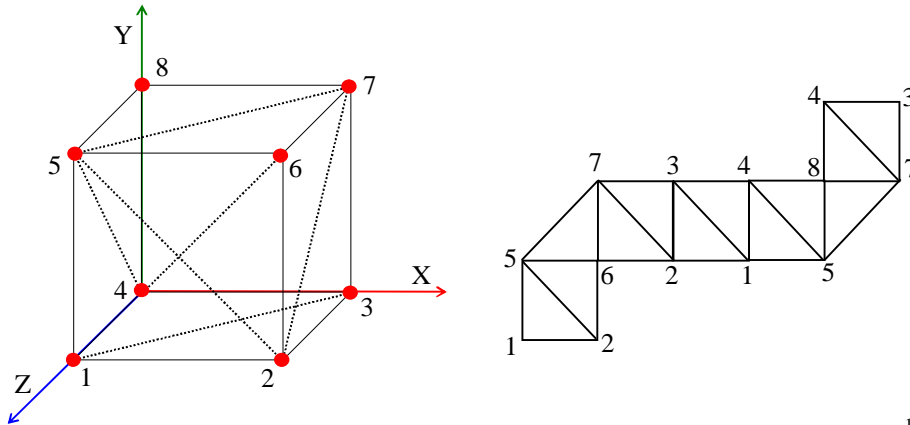


10

## 2. Modelos de fronteras (B-rep)

### 2.2. Tiras de triángulos

- Ejemplo. Cubo construido con una tira de triángulos

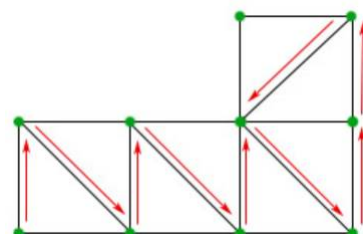
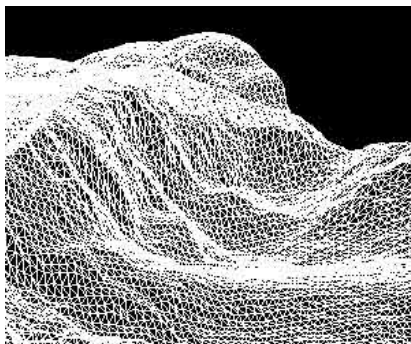


11

## 2. Modelos de fronteras (B-rep)

### 2.2. Tiras de triángulos

- Ejemplo. Plano con una tira de triángulos



12

## 2. Modelos de fronteras (B-rep)

### 2.3. Listas de vértices y triángulos

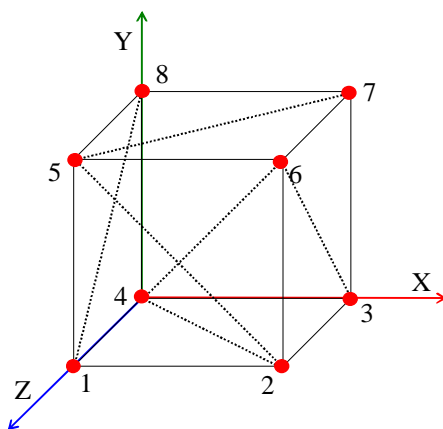
- Información por separado de la geometría (vértices) y de topología (conectividad entre vértices)
  - Lista de vértices: una entrada por cada vértice, por tanto no se repiten
  - Lista de caras: una entrada por triángulo que contiene los índices a los vértices correspondientes de la lista de vértices

13

## 2. Modelos de fronteras (B-rep)

### 2.3. Listas de vértices y triángulos

#### • Ejemplo



Lista de triángulos	Lista de vértices
1,2,5	
2,6,5	1 $x_1, y_1, z_1$
2,3,6	2 $x_2, y_2, z_2$
3,7,6	3 $x_3, y_3, z_3$
3,4,7	4 $x_4, y_4, z_4$
4,8,7	5 $x_5, y_5, z_5$
4,1,8	6 $x_6, y_6, z_6$
1,5,8	7 $x_7, y_7, z_7$
5,6,7	8 $x_8, y_8, z_8$
5,7,8	
4,2,1	
4,3,1	

14

## 2. Modelos de fronteras (B-rep)

### 2.4. Listas de vértices, aristas y triángulos

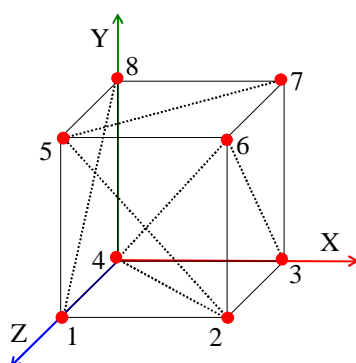
- Es una de las representaciones mas usadas para una malla
- Información por separado de la geometría (vértices) y de topología (caras y aristas)
  - Lista de vértices: una entrada por cada vértice, por tanto no se repiten
  - Lista de aristas: una entrada por arista que contiene los índices a los vértices extremos de la arista
  - Lista de caras: una entrada por triángulo que contiene los índices a los vértices correspondientes de la lista de vértices
- Permite visualizar en modo de alambre de forma eficiente

15

## 2. Modelos de fronteras (B-rep)

### 2.4. Listas de vértices, aristas y triángulos

- Ejemplo



Lista de triángulos	Lista de vértices	Lista de aristas
1,2,5		1,2
2,6,5	1 $x_1, y_1, z_1$	2,3
2,3,6	2 $x_2, y_2, z_2$	3,4
3,7,6	3 $x_3, y_3, z_3$	4,1
3,4,7	4 $x_4, y_4, z_4$	1,5
4,8,7	5 $x_5, y_5, z_5$	2,6
4,1,8	6 $x_6, y_6, z_6$	3,7
1,5,8	7 $x_7, y_7, z_7$	4,8
5,6,7	8 $x_8, y_8, z_8$	5,6
5,7,8		6,7
4,2,1		7,8
4,3,1		8,5

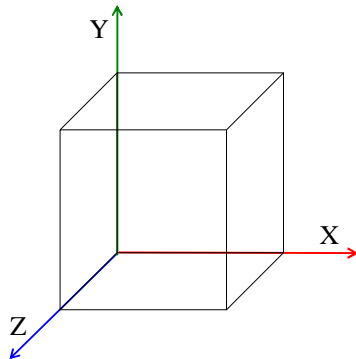
16



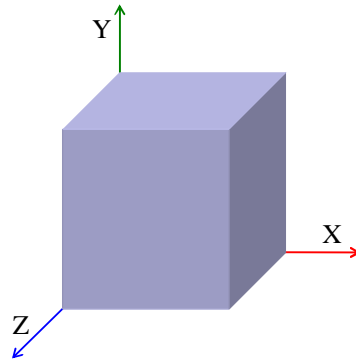
## 2. Modelos de fronteras (B-rep)

### 2.4. Listas de vértices, aristas y triángulos

- Ejemplo



Visualización con la lista de aristas



Visualización con la lista de caras

17

## 2. Modelos de fronteras (B-rep)

### 2.5. Implementación y visualización de las mallas

- La construcción de los modelos ha de estar separada de la visualización

- Tipos de datos básicos

```
const unsigned int X=0, Y=1, Z= 2 ;           // índices de los ejes cartesianos X,Y,Z
```

```
struct vertex  
{  
    float coord[3];  
};  
// tres valores reales que representan un vértice  
// acceder con: coord[0], coord[1], coord[2]  
// o con: coord[X], coord[Y], coord[Z]
```

```
struct face  
{  
    int ind_ver[3];  
};  
// tres enteros para almacenar los índices de  
// los vértices que forman un triángulo
```

18

## 2. Modelos de fronteras (B-rep)

### 2.5. Implementación y visualización de las mallas

- Visualizar en modo punto. Válido en todos los casos menos para listas de triángulos aislados

```
void visualizar_points (vertex *puntos, int n, float r, float g, float b, int size)
{
    int i;
    glColor3f(r,g,b);
    glPointSize(size);
    glBegin(GL_POINTS);
        for (i=0;i<n;i++) glVertex3f( puntos[i].coord[0], puntos[i].coord[1],
puntos[i].coord[2]);
    glEnd();
}
```

19

## 2. Modelos de fronteras (B-rep)

### 2.5. Implementación y visualización de las mallas

- Malla de triángulos aislados

```
struct triangle
{
    vertex ver[3];           // vértices de un triángulo 1, 2, 3
};

struct meshTA
{
    int n;                  // número de triángulos
    triangle *tri;          // lista de triángulos de la malla
};

...
meshTA *objeto;
...
objeto = (meshTA*) malloc (sizeof(meshTA));
objeto->n = puntos;
objeto->tri = (triangle*) malloc (puntos*sizeof(triangle));
```

```
struct vertex
{
    float coord[3];
};
```

20

## 2. Modelos de fronteras (B-rep)

### 2.5. Implementación y visualización de las mallas

- Malla de triángulos aislados

```
void visualizar_meshTA (meshTA *malla, float r, float g, float b, GLenum modo)
{
    Int i;
    n=malla->n;

    if (modo==GL_LINE) glPolygonMode(GL_FRONT_AND_BACK, GL_LINE);
    else if (modo==GL_FILL) glPolygonMode(GL_FRONT_AND_BACK, GL_FILL);
    else glPolygonMode(GL_FRONT_AND_BACK, GL_POINT);

    glColor3f(r,g,b);
    glBegin(GL_TRIANGLES);
    for (i=0;i<n;i++)
    {
        glVertex3fv(malla->tri[i].ver[0].coord);
        glVertex3fv(malla->tri[i].ver[1].coord);
        glVertex3fv(malla->tri[i].ver[2].coord);
    }
    glEnd();
}
```

21

## 2. Modelos de fronteras (B-rep)

### 2.5. Implementación y visualización de las mallas

- Malla de tiras de triángulos

```
struct triangle_strip
{
    int n; // número de vértices de la tira
    vertex *ver; // vértices de la tira de triángulos
};

struct meshTT
{
    int n_s; // número de tiras de triángulos
    triangle_strip *strip; // tira de triángulos
    ...
    meshTT *objeto;
    ...
    objeto= (meshTT*) malloc (sizeof(meshTT));
    objeto->n_s=1; // una sola tira de triángulos
    objeto->strip[0]=(triangle_strip*)malloc(1sizeof(triangle_strip));
    objeto->strip[0].n=puntos;
    objeto->strip[0].ver=(vertex*)malloc(puntos*sizeof(vertex));
}
```

```
struct vertex
{
    float coord[3];
};
```

22

## 2. Modelos de fronteras (B-rep)

### 2.5. Implementación y visualización de las mallas

- Malla de tiras de triángulos

```
void visualizar_meshTT(meshTT *malla, float, r, float g, float b, GLenum modo)
{
    int n_s, n, i, j;
    n_s=malla->n_s;

    if (modo==GL_LINE) glPolygonMode(GL_FRONT_AND_BACK, GL_LINE);
    else if (modo==GL_FILL) glPolygonMode(GL_FRONT_AND_BACK, GL_FILL);

    glColor3f(r,g,b);
    for (j=0;j<n_s;j++)
    {n=malla->strip[j].n;
    glBegin(GL_TRIANGLE_STRIP);
    for (i=0;i<n;i++)
        glVertex3f(malla->strip[j].ver[i].coord[0], malla->strip[j].ver[i].coord[1],
                    malla->strip[j].ver[i].coord[2]);
    glEnd();
    }
}
```

23

## 2. Modelos de fronteras (B-rep)

### 2.5. Implementación y visualización de las mallas

- Malla de vértices y triángulos

```
struct meshVT
{
    int n_v;           // número de vértices
    int n_c;           // número de triángulos
    vertex *ver;       // lista de vértices
    face *car;         // lista de triángulos
};

...
meshVT *objeto;
...
objeto=(meshVT*) malloc(sizeof(meshVT));
objeto->n_v=puntos;
objeto->ver=(vertex*) malloc(puntos*sizeof(vertex));
objeto->n_c=caras;
objeto->car=(face*) malloc(caras*sizeof(face));
```

```
struct vertex
{
    float coord[3];
};

struct face
{
    int ind_ver[3];
};
```

24

## 2. Modelos de fronteras (B-rep)

### 2.5. Implementación y visualización de las mallas

- Malla de vértices y triángulos

```
void visualizar_meshVT (meshVT *malla, float, r, float g, float b, GLenum modo)
{
    int n_c,n_v,i;
    n_c=malla->n_c;
    if (modo==GL_LINE) glPolygonMode(GL_FRONT_AND_BACK, GL_LINE);
    else if (modo==GL_FILL) glPolygonMode(GL_FRONT_AND_BACK, GL_FILL);

    glColor3f(r,g,b);
    glBegin(GL_TRIANGLES);
    for (i=0;i<n_c;i++)
    {
        n_v=malla->car[i].ind_ver[0];
        glVertex3fv(malla->ver[n_v].coord);
        n_v=malla->car[i].ind_ver[1];
        glVertex3fv(malla->ver[n_v].coord);
        n_v=malla->car[i].ind_ver[2];
        glVertex3fv(malla->ver[n_v].coord);
    }
    glEnd();
}
```

25

## 2. Modelos de fronteras (B-rep)

### 2.5. Implementación y visualización de las mallas

- Malla de vértices, aristas y triángulos

```
struct edge
{
    int ind_lado[2];    // índices de los vértices de una arista
};

struct meshVAT
{
    int n_v;           // número de vértices
    int n_a;           // número de aristas
    int n_c;           // número de triángulos
    vertex *ver;       // lista de vértices
    edge *ari;         // lista de aristas
    face *car;         // lista de triángulos
};

...
meshVAT *objeto;
...
objeto=(meshVAT*) malloc(sizeof(meshVAT));
objeto->n_v=puntos;  objeto->ver=(vertex*) malloc(puntos*sizeof(vertex));
objeto->n_c=caras;   objeto->car=(face*) malloc(caras*sizeof(face));
objeto->n_a=lados;   objeto->ari=(edge*) malloc(lados*sizeof(edge));
```

```
struct vertex
{
    float coord[3];
};

struct face
{
    int ind_ver[3];
};
```

26

## 2. Modelos de fronteras (B-rep)

### 2.5. Implementación y visualización de las mallas

- Malla de vértices, aristas y triángulos

```
void visualizar_meshVAT_aristas (meshVAT *malla, float r, float g, float b)
{
    int n_v,i;
    glColor3f(r,g,b);
    glBegin(GL_LINES);
    for (i=0;i<malla->n_a;i++)
    {
        n_v=malla->ari[i].ind_lado[0];
        glVertex3fv(malla->ver[n_v].coord);
        n_v=malla->ari[i].ind_lado[1];
        glVertex3fv(malla->ver[n_v].coord);
    }
    glEnd();
}

void visualizar_meshVAT_triangulos (meshVAT *malla, float r, float g, float b)
{
    ...
    glPolygonMode(GL_FRONT_AND_BACK, GL_FILL);
    ...
}
```

27

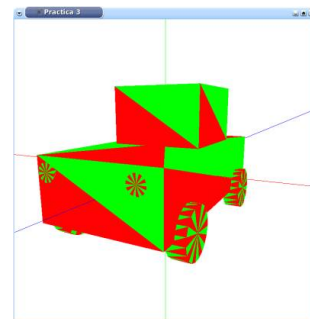
## 2. Modelos de fronteras (B-rep)

### 2.5. Implementación y visualización de las mallas

- Otros modos de visualización: ajedrez

```
void visualizar_meshVAT_ajedrez (meshVAT *malla, float, color_a[3], float
color_b[3])
{
    int n_c,n_v,i;
    n_c=malla->n_c;
    glPolygonMode(GL_FRONT_AND_BACK, GL_FILL);

    glBegin(GL_TRIANGLES);
    for (i=0;i<n_c;i++)
    {
        if ( i %2 == 0 ) glColor3f(color_a[0], color_a[1], color_a[1]);
        else glColor3f(color_b[0], color_b[1], color_b[1]);
        n_v=malla->car[i].ind_ver[0];
        glVertex3fv(malla->ver[n_v].coord);
        ...
    }
    glEnd();
}
```



28

## 2. Modelos de fronteras (B-rep)

### 2.5. Implementación y visualización de las mallas

- Para facilitar la codificación con C++ se pueden usar:
  - Plantillas (templates)
  - STL (Standard Template Library)

```
_vertex3f Vertex;  
Vertex.x = 0 ;  
Vertex.y = 5 ;  
Vertex.z = 10 ;
```

```
// estructuras para una malla de vértices, aristas y puntos
```

```
vector<_vertex3f> Vertices ;           // lista de vértices  
vector<_vertex3i> Triangulos ;        // lista de triángulos  
vector<_vertex2i> Aristas;            // lista de aristas
```

29

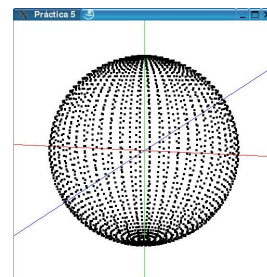
## 2. Modelos de fronteras (B-rep)

### 2.5. Implementación y visualización de las mallas

- STL vector

```
// Visualizando en modo puntos
```

```
...  
int i  
...  
glBegin( GL_POINTS ) ;  
for( i=0 ; i < Vertices.size() ; i++ )  
    glVertex3f( Vertices[i].x, Vertices[i].y, Vertices[i].z  
);  
glEnd() ;
```



30

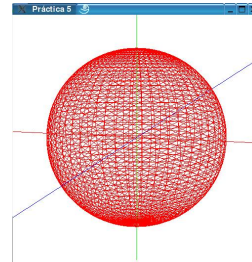
## 2. Modelos de fronteras (B-rep)

### 2.5. Implementación y visualización de las mallas

- STL vector

// Visualizando en modo alambre

```
...  
int Vertex_1,Vertex_2, i;  
...  
glBegin( GL_LINES );  
for( i= 0 ; i < Aristas.size() ; i++ ){  
Vertex_1 = Aristas[i]._0 ;  
Vertex_2 = Aristas[i]._1 ;  
glVertex3f( Vertices[Vertex_1].x, Vertices[Vertex_1].y,Vertices[Vertex_1].z ) ;  
glVertex3f( Vertices[Vertex_2].x, Vertices[Vertex_2].y,Vertices[Vertex_2].z ) ;  
}  
glEnd() ;
```



31

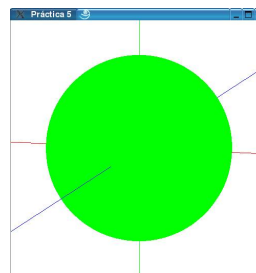
## 2. Modelos de fronteras (B-rep)

### 2.5. Implementación y visualización de las mallas

- STL vector

// Visualizando en modo sólido

```
...  
int Vertex_1,Vertex_2,Vertex_3;  
...  
glBegin( GL_TRIANGLES );  
for ( i= 0 ; i < Triangulos.size() ; i++ ){  
Vertex_1 = Triangulos[i]._0 ;  
Vertex_2 = Triangulos[i]._1 ;  
Vertex_3 = Triangulos[i]._2 ;  
glVertex3f( Vertices[Vertex_1].x, Vertices[Vertex_1].y, Vertices[Vertex_1].z);  
glVertex3f( Vertices[Vertex_2].x, Vertices[Vertex_2].y, Vertices[Vertex_2].z);  
glVertex3f( Vertices[Vertex_3].x, Vertices[Vertex_3].y, Vertices[Vertex_3].z);  
}  
glEnd() ;
```



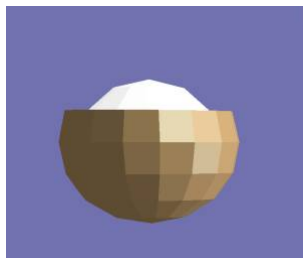
32



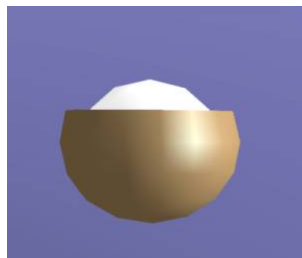
## 2. Modelos de fronteras (B-rep)

### 2.6. Atributos de las caras

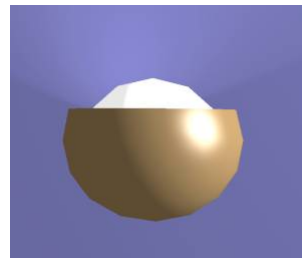
- Cálculo de normales, a utilizar en iluminación
  - Normal a las caras: suavizado plano
  - Normal a los vértices: suavizado de Gouraud o Phong



Suavizado plano



Suavizado Gouraud



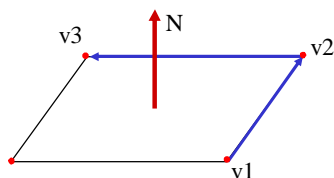
Suavizado Phong

33

## 2. Modelos de fronteras (B-rep)

### 2.6. Atributos de las caras

- Normal a las caras



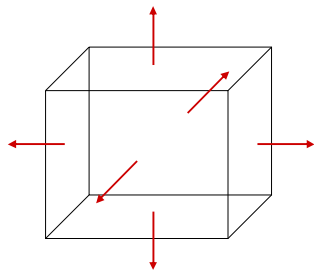
$$\vec{N} = \frac{\overrightarrow{v_2 v_1} \otimes \overrightarrow{v_3 v_2}}{\left\| \overrightarrow{v_2 v_1} \otimes \overrightarrow{v_3 v_2} \right\|}$$

34

## 2. Modelos de fronteras (B-rep)

### 2.6. Atributos de las caras

- La iluminación plana es verosímil para objetos que si se puedan modelar con caras planas pero no para objetos suaves (curvos)

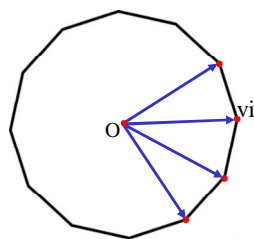
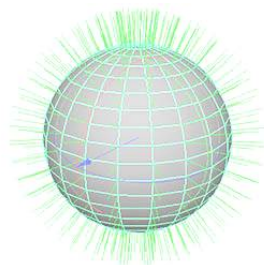


35

## 2. Modelos de fronteras (B-rep)

### 2.6. Atributos de las caras

- Normal a los vértices. Dos formas de calcular esta normal:
  - A partir de la forma del objeto



Normal a vértices en una esfera

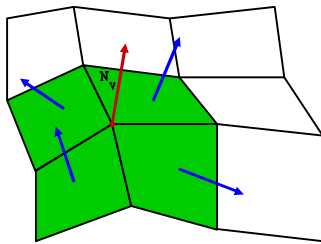
$$\vec{N}_{vi} = \frac{\vec{v_i O}}{\|\vec{v_i O}\|}$$

36

## 2. Modelos de fronteras (B-rep)

### 2.6. Atributos de las caras

- Normal a los vértices.
  - Una normal promedio de las normales de las caras que se reúnen en un vértice dado



$$\vec{N}_{v,i} = \frac{\sum_{j=1}^n \vec{N}_{j,i}}{\left\| \sum_{j=1}^n \vec{N}_{j,i} \right\|}$$

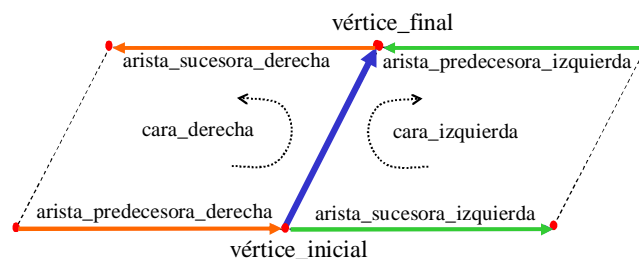
$N_{j,i}$  ( $j = 1, \dots, n$ ) normales de las caras que comparten el vértice  $i$

37

## 2. Modelos de fronteras (B-rep)

### 2.7. Aristas aladas (winged-edges , Baumgart72)

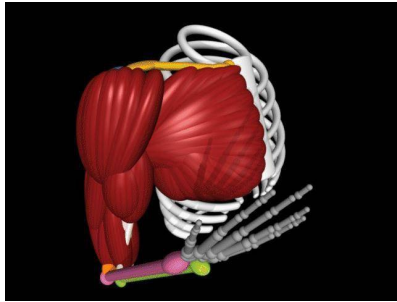
- Esta estructura pone el énfasis en las aristas en lugar de las caras
- Para cada arista tenemos:
  - sus dos vértices
  - las dos caras adyacentes a la arista (cara derecha e izquierda)
  - Las aristas predecesoras y sucesoras en las caras adyacentes



38

### 3. Transformaciones geométricas

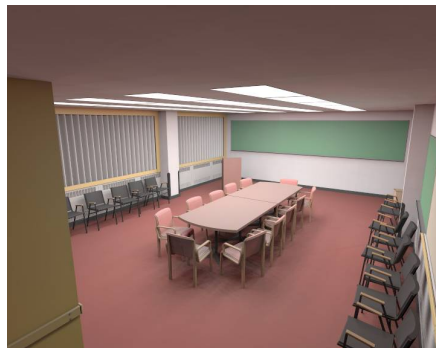
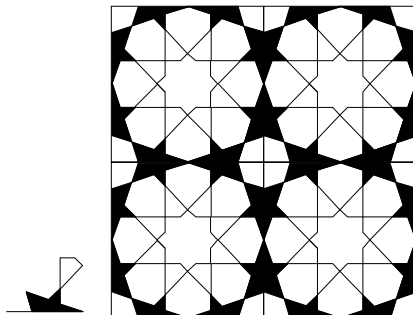
- El movimiento de cualquier objeto se expresa con transformaciones geométricas



39

### 3. Transformaciones geométricas

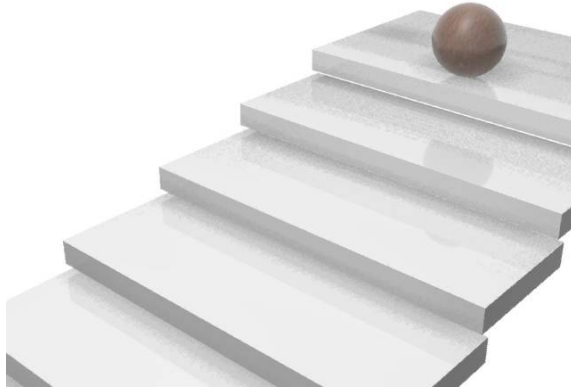
- En el manejo de instancias de objetos gráficos desempeñan un papel muy importante. Una instancia es un objeto gráfico definido en su propio sistema de coordenadas cartesianas



40

### 3. Transformaciones geométricas

- Un comentario sobre animación



41

### 3. Transformaciones geométricas

#### 3.1. Tipos de transformaciones

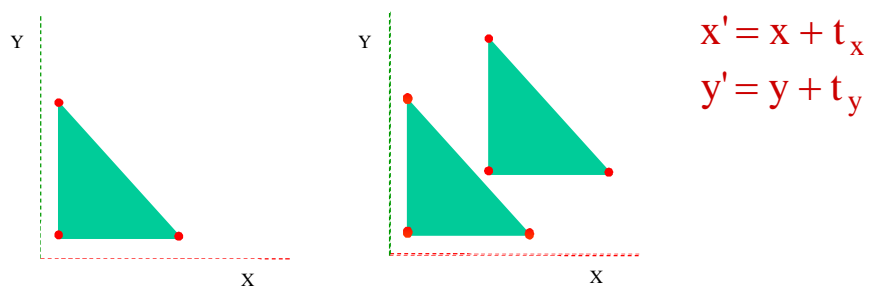
- Un objeto se puede considerar como un conjunto de puntos. Las transformaciones geométricas serán operaciones para calcular nuevas posiciones de los puntos de un objeto
  - Translación
  - Rotación
  - Escalado
  - Deformación (cizalla)
  - Reflexión (caso particular del escalado)

42

### 3. Transformaciones geométricas

#### 3.1. Tipos de transformaciones

- Translación

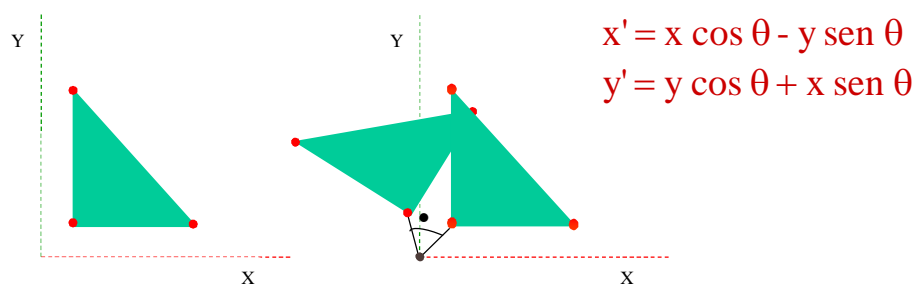


43

### 3. Transformaciones geométricas

#### 3.1. Tipos de transformaciones

- **Rotación** con ángulo en el sentido contrario a las agujas del reloj

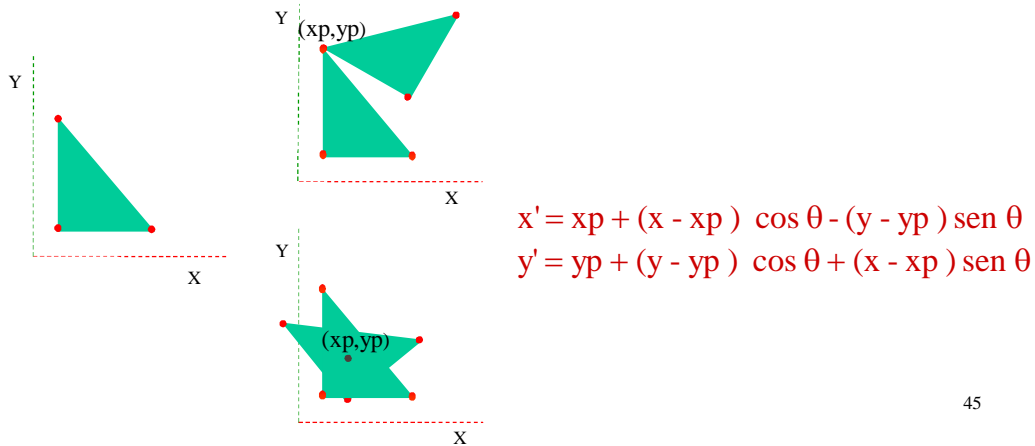


44

### 3. Transformaciones geométricas

#### 3.1. Tipos de transformaciones

- **Rotación** con ángulo en el sentido contrario a las agujas del reloj y con respecto a un punto pivote

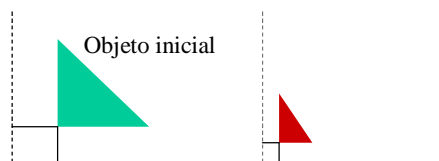


45

### 3. Transformaciones geométricas

#### 3.1. Tipos de transformaciones

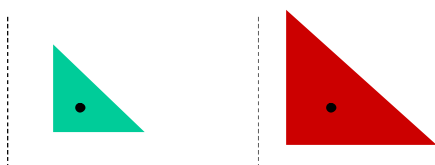
- **Escalado** con respecto al origen



$$x' = x S_x$$

$$y' = y S_y$$

- **Escalado** con respecto a un punto pivote



$$x' = x_p + (x - x_p) S_x$$

$$y' = y_p + (y - y_p) S_y$$

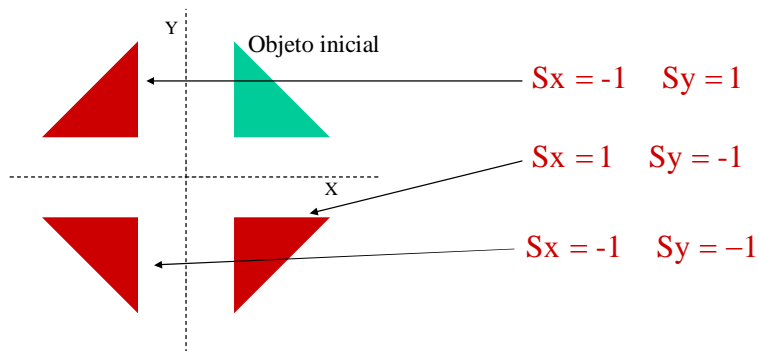
46

### 3. Transformaciones geométricas

#### 3.1. Tipos de transformaciones

- Reflexión (Flip). Caso particular del escalado

$$\begin{aligned}x' &= x \cdot S_x \\ y' &= y \cdot S_y\end{aligned}$$



47

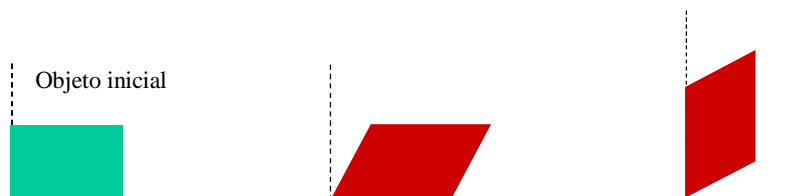
### 3. Transformaciones geométricas

#### 3.1. Tipos de transformaciones

- Deformación o cizalla (Shear) con respecto al origen

$$\begin{aligned}x' &= x + y \cdot SH_x \\ y' &= y\end{aligned}$$

$$\begin{aligned}x' &= x \\ y' &= x \cdot SH_y + y\end{aligned}$$



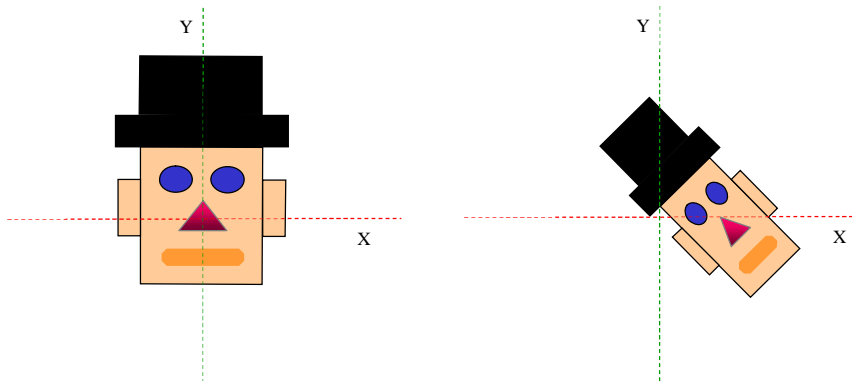
48



### 3. Transformaciones geométricas

#### 3.1. Tipos de transformaciones

- Al conjunto de transformaciones geométricas que se aplican a un objeto se le denomina transformación de modelado



49

### 3. Transformaciones geométricas

#### 3.2. Representación matricial

- Las reglas para componer ecuaciones son complejas si se usan funciones.
- Se usa la representación matricial para las transformaciones. Componer transformaciones equivale a multiplicar matrices.
- Se emplean las coordenadas homogéneas, en las que un punto se representa por el vector  $(x', y', h)$  (2D) o por  $(x', y', z', h)$  (3D) y se usan matrices  $3 \times 3$  (2D) o  $4 \times 4$  (3D) para representar las transformaciones
- Para no realizar normalizaciones se toma  $h=1$  y la última columna de las matrices  $3 \times 3$  como  $(0, 0, 1)$  o bien  $(0, 0, 0, 1)$  para las matrices  $4 \times 4$ .

50

### 3. Transformaciones geométricas

#### 3.2. Representación matricial

- Hay dos representaciones para las matrices:
  - A) si un punto se considera como vector fila  $(x,y,1)$  se multiplica por la izquierda de la matriz
  - B) si un punto se considera como columna  $(x,y,1)^t$  se multiplica por la derecha

$T_{tx,ty} = \begin{pmatrix} 1 & 0 & 0 \\ 0 & 1 & 0 \\ t_x & t_y & 1 \end{pmatrix} \quad R_\theta = \begin{pmatrix} \cos \theta & \sin \theta & 0 \\ -\sin \theta & \cos \theta & 0 \\ 0 & 0 & 1 \end{pmatrix}$	$T^t_{tx,ty} = \begin{pmatrix} 1 & 0 & t_x \\ 0 & 1 & t_y \\ 0 & 0 & 1 \end{pmatrix} \quad R^t_\theta = \begin{pmatrix} \cos \theta & -\sin \theta & 0 \\ \sin \theta & \cos \theta & 0 \\ 0 & 0 & 1 \end{pmatrix}$
$S_{sx,sy} = \begin{pmatrix} s_x & 0 & 0 \\ 0 & s_y & 0 \\ 0 & 0 & 1 \end{pmatrix} \quad SH_{shx,shy} = \begin{pmatrix} 1 & sh_y & 0 \\ sh_x & 1 & 0 \\ 0 & 0 & 1 \end{pmatrix}$	$S^t_{sx,sy} = \begin{pmatrix} s_x & 0 & 0 \\ 0 & s_y & 0 \\ 0 & 0 & 1 \end{pmatrix} \quad SH^t_{shx,shy} = \begin{pmatrix} 1 & sh_x & 0 \\ sh_y & 1 & 0 \\ 0 & 0 & 1 \end{pmatrix}$
Forma A	Forma B

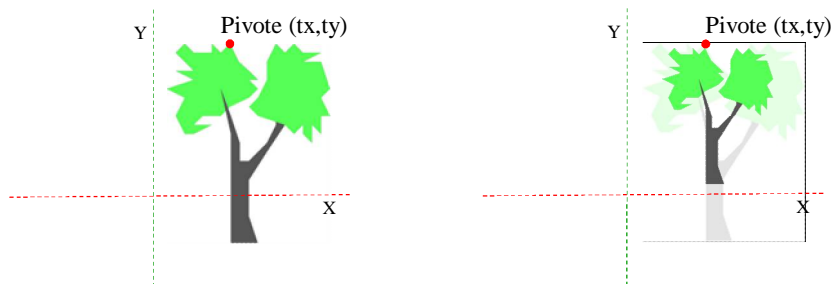
51

### 3. Transformaciones geométricas

#### 3.2. Representación matricial

- Ejemplo de escalado con respecto a un punto pivote, con la representación A)

$$\begin{pmatrix} x_1 & y_1 & 1 \\ \vdots & \vdots & \vdots \\ x_n & y_n & 1 \end{pmatrix} \begin{pmatrix} 1 & 0 & 0 \\ 0 & 1 & 0 \\ -t_x & -t_y & 1 \end{pmatrix} \begin{pmatrix} s_x & 0 & 0 \\ 0 & s_y & 0 \\ 0 & 0 & 1 \end{pmatrix} \begin{pmatrix} 1 & 0 & 0 \\ 0 & 1 & 0 \\ t_x & t_y & 1 \end{pmatrix} = \text{Objeto} \times T_{-tx,-ty} \times S_{sx,sy} \times T_{tx,ty} \equiv \text{Objeto} \times M$$



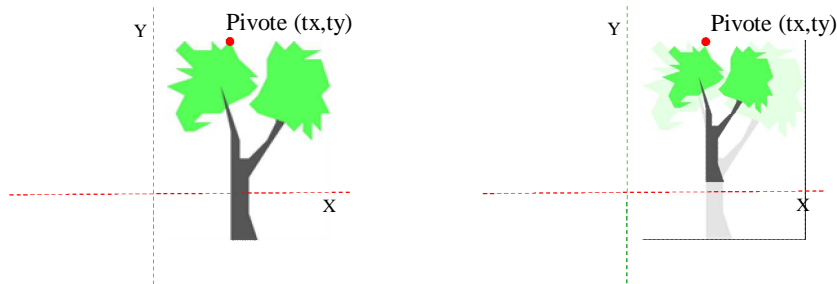
52

### 3. Transformaciones geométricas

#### 3.2. Representación matricial

- Ejemplo de escalado con respecto a un punto pivote, con la representación B)

$$\begin{pmatrix} 1 & 0 & t_x \\ 0 & 1 & t_y \\ 0 & 0 & 1 \end{pmatrix} \begin{pmatrix} s_x & 0 & 0 \\ 0 & s_y & 0 \\ 0 & 0 & 1 \end{pmatrix} \begin{pmatrix} 1 & 0 & -t_x \\ 0 & 1 & -t_y \\ 0 & 0 & 1 \end{pmatrix} \begin{pmatrix} x_1 & \cdots & x_n \\ y_1 & \cdots & y_n \\ 1 & \cdots & 1 \end{pmatrix} = T_{tx,ty}^t \times S_{sx,sy}^t \times T_{-tx,-ty}^t \times \text{Objeto} \equiv M \times \text{Objeto}$$



53

### 3. Transformaciones geométricas

#### 3.2. Representación matricial

- Toda transformación geométrica tiene inversa. Fácil de calcular con matrices: con la notación A):

$$T_{tx,ty}^{-1} = T_{-tx,-ty} = \begin{pmatrix} 1 & 0 & 0 \\ 0 & 1 & 0 \\ -t_x & -t_y & 1 \end{pmatrix} \quad R_{\theta}^{-1} = R_{-\theta} = \begin{pmatrix} \cos \theta & -\sin \theta & 0 \\ \sin \theta & \cos \theta & 0 \\ 0 & 0 & 1 \end{pmatrix}$$

$$S_{sx,sy}^{-1} = S_{1/sx,1/sy} = \begin{pmatrix} 1/s_x & 0 & 0 \\ 0 & 1/s_y & 0 \\ 0 & 0 & 1 \end{pmatrix} \quad SH_{shx,shy}^{-1} = \begin{pmatrix} 1 & -sh_y & 0 \\ 1-sh_x sh_y & 1-sh_x sh_y & 0 \\ -sh_x & 1 & 0 \\ 1-sh_x sh_y & 1-sh_x sh_y & 0 \\ 0 & 0 & 1 \end{pmatrix}$$

54

### 3. Transformaciones geométricas

#### 3.2. Representación matricial

- Matrices 3D (translación, escalado y deformación), adoptando la notación de puntos como vectores fila,  $(x,y,z,1)$

$$T_{tx,ty,tz} = \begin{pmatrix} 1 & 0 & 0 & 0 \\ 0 & 1 & 0 & 0 \\ 0 & 0 & 1 & 0 \\ t_x & t_y & t_z & 1 \end{pmatrix} \quad S_{sx,sy,sz} = \begin{pmatrix} s_x & 0 & 0 & 0 \\ 0 & s_y & 0 & 0 \\ 0 & 0 & s_z & 0 \\ 0 & 0 & 0 & 1 \end{pmatrix}$$

$$SH_x = \begin{pmatrix} 1 & sh_{xy} & sh_{xz} & 0 \\ 0 & 1 & 0 & 0 \\ 0 & 0 & 1 & 0 \\ 0 & 0 & 0 & 1 \end{pmatrix} \quad SH_y = \begin{pmatrix} 1 & 0 & 0 & 0 \\ sh_{yx} & 1 & sh_{yz} & 0 \\ 0 & 0 & 0 & 1 \\ 0 & 0 & 0 & 1 \end{pmatrix} \quad SH_z = \begin{pmatrix} 1 & 0 & 0 & 0 \\ 0 & 1 & 0 & 0 \\ sh_{zx} & sh_{zy} & 1 & 0 \\ 0 & 0 & 0 & 1 \end{pmatrix}$$

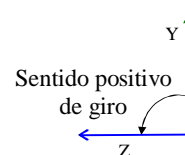
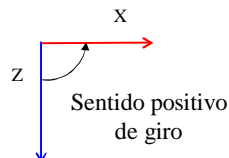
55

### 3. Transformaciones geométricas

#### 3.2. Representación matricial

- Matrices 3D para rotación, adoptando la notación de puntos como vectores fila,  $(x,y,z,1)$

$$R_{z,\theta} = \begin{pmatrix} \cos \theta & \sin \theta & 0 & 0 \\ -\sin \theta & \cos \theta & 0 & 0 \\ 0 & 0 & 1 & 0 \\ 0 & 0 & 0 & 1 \end{pmatrix} \quad R_{y,\theta} = \begin{pmatrix} \cos \theta & 0 & -\sin \theta & 0 \\ 0 & 1 & 0 & 0 \\ \sin \theta & 0 & \cos \theta & 0 \\ 0 & 0 & 0 & 1 \end{pmatrix} \quad R_{x,\theta} = \begin{pmatrix} 1 & 0 & 0 & 0 \\ 0 & \cos \theta & \sin \theta & 0 \\ 0 & -\sin \theta & \cos \theta & 0 \\ 0 & 0 & 0 & 1 \end{pmatrix}$$

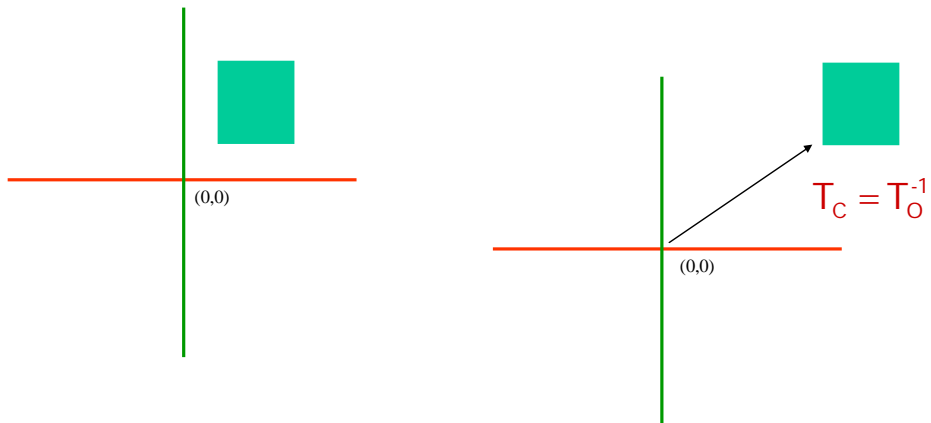


56

### 3. Transformaciones geométricas

#### 3.2. Representación matricial

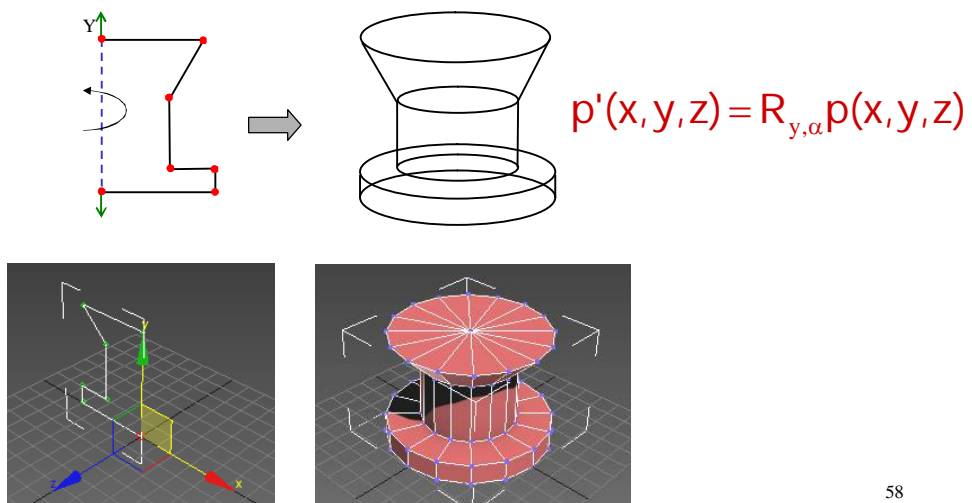
- Transformaciones de coordenadas. Son inversas a las transformaciones geométricas.



57

### 4. Generación de modelos de frontera

#### 4.1. Revolución



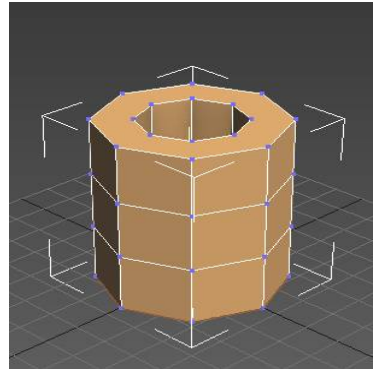
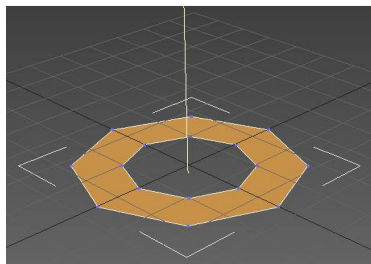
58

#### 4. Generación de modelos de frontera

##### 4.2. Barrido o extrusión

- Extrusión según una recta

$$p'(x, y, z) = T_{tx, ty, tz} p(x, y, z)$$

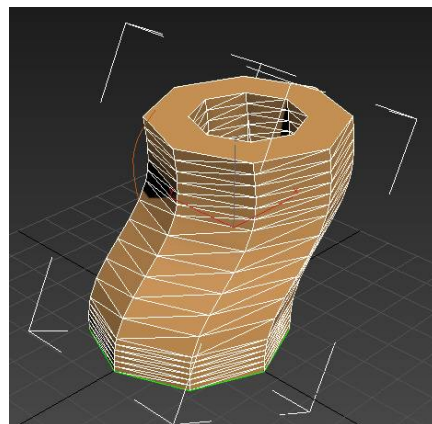
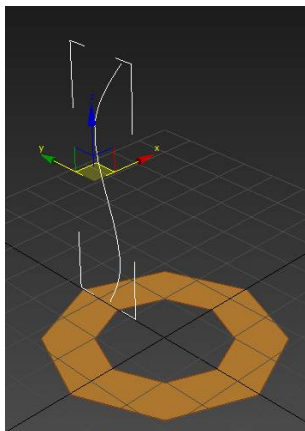


59

#### 4. Generación de modelos de frontera

##### 4.2. Barrido o extrusión

- Extrusión según una curva

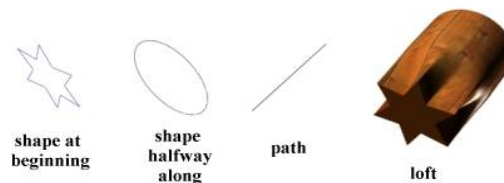


60

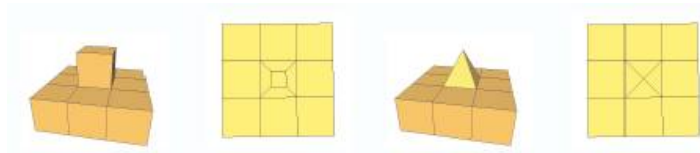
#### 4. Generación de modelos de frontera

##### 4.2. Barrido o extrusión

- Combinación de perfiles



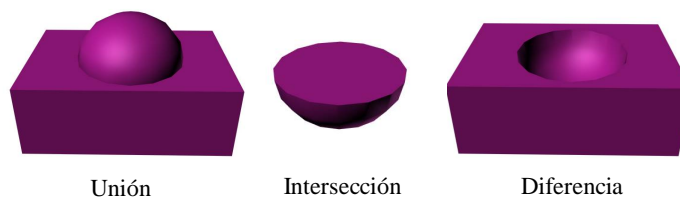
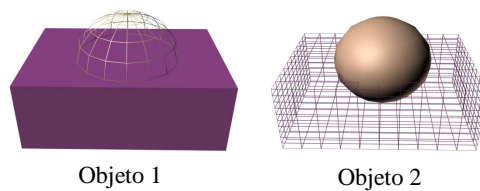
- Extrusión local



61

#### 4. Generación de modelos de frontera

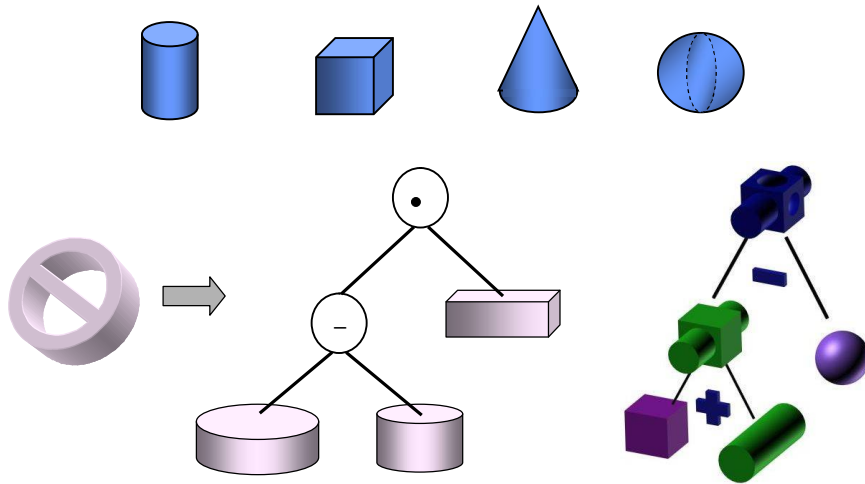
##### 4.3. Operaciones booleanas



62

#### 4. Generación de modelos de frontera

##### 4.4. Geometría constructiva de sólidos (CSG)



63

#### 5. Modelos jerárquicos

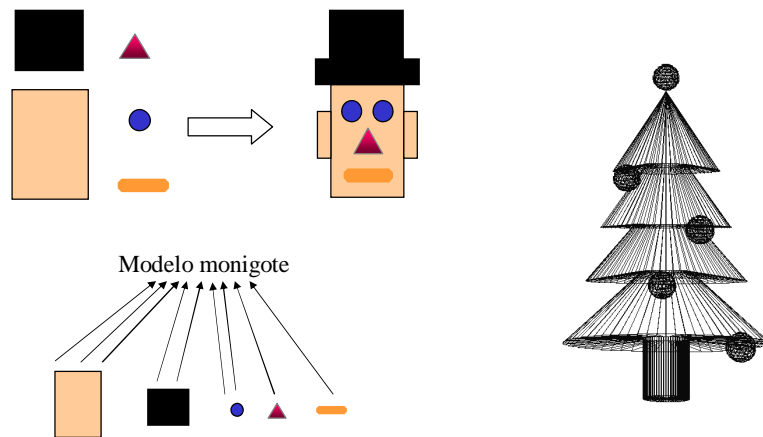
- Permiten la creación de modelos complejos a partir de modelos más simples
- Tipos de modelos jerárquicos:
  - Objetos compuestos
  - Objetos articulados
  - Escenas formadas por varios objetos
- Se representan mediante grafos dirigidos acíclicos (Directed Acyclic Graph o DAG). No hay un tipo de grafo normalizado
  - En las hojas tenemos objetos simples.
  - En los nodos transformaciones geométricas e instancias o bien un objeto y en los arcos transformaciones geométricas

64



## 5. Modelos jerárquicos

### 5.1. Tipos de modelos jerárquicos. Compuestos

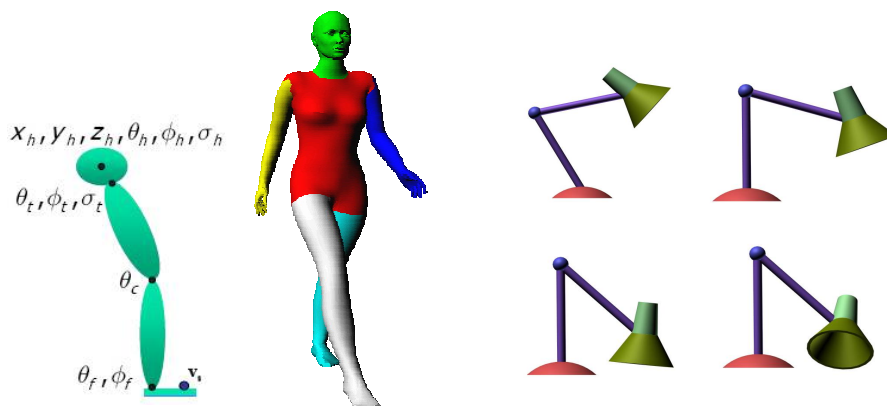


65

## 5. Modelos jerárquicos

### 5.1. Tipos de modelos jerárquicos. Objetos articulados

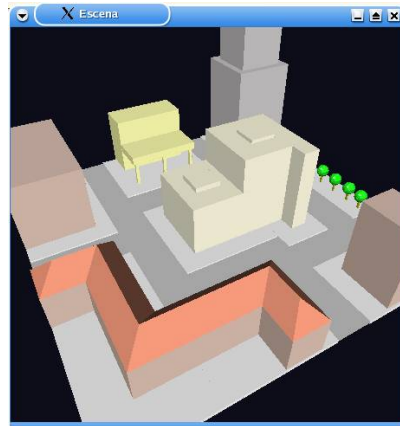
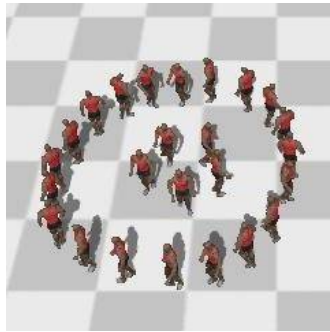
- Herencia de transformaciones



66

## 5. Modelos jerárquicos

### 5.1. Tipos de modelos jerárquicos. Escena

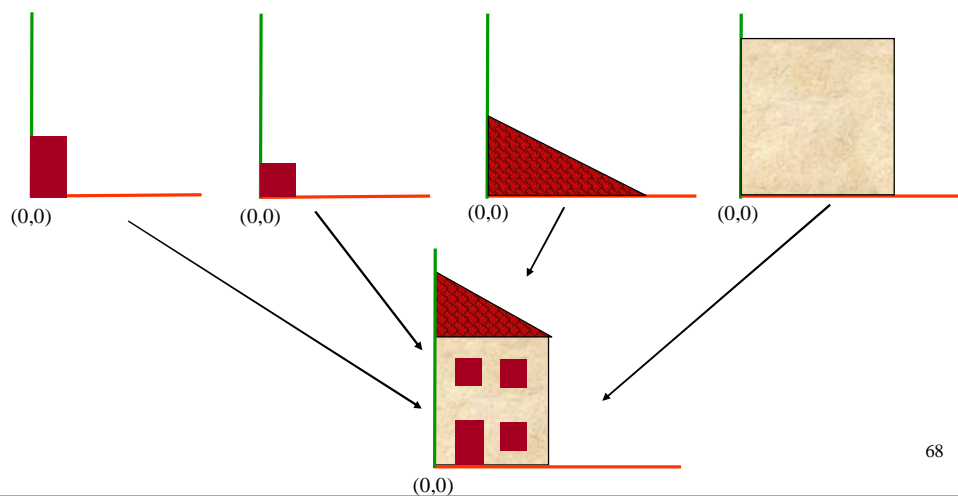


67

## 5. Modelos jerárquicos

### 5.2. Grafos dirigidos acíclicos

- Es conveniente utilizar coordenadas maestras

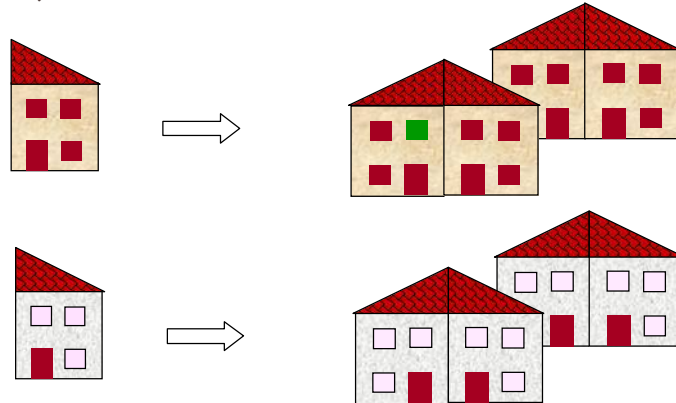


68

## 5. Modelos jerárquicos

## 5.2. Grafos dirigidos acíclicos

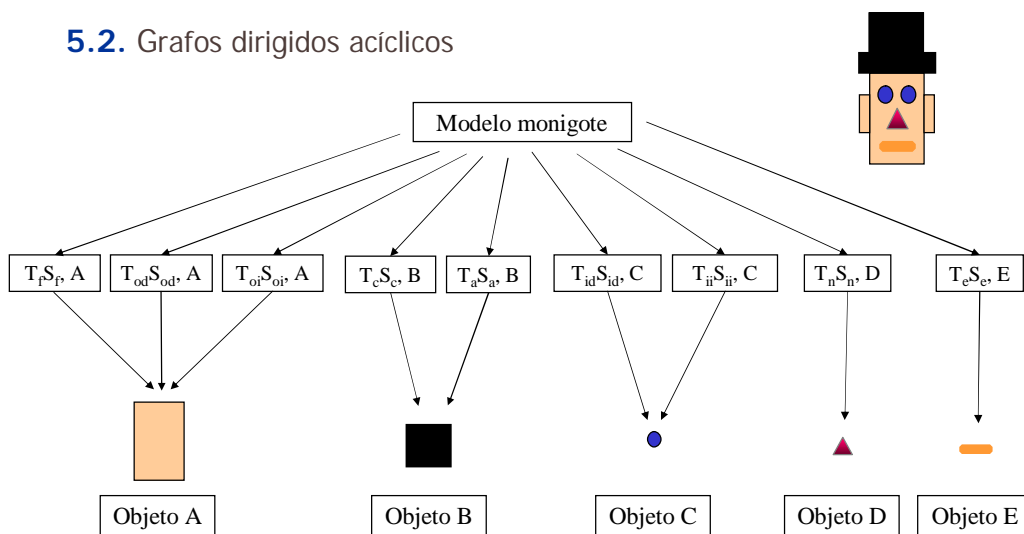
- Un objeto definido en coordenadas maestras se puede instanciar por copia (uso de mucha memoria) o por referencia (poca memoria)



69

## 5. Modelos jerárquicos

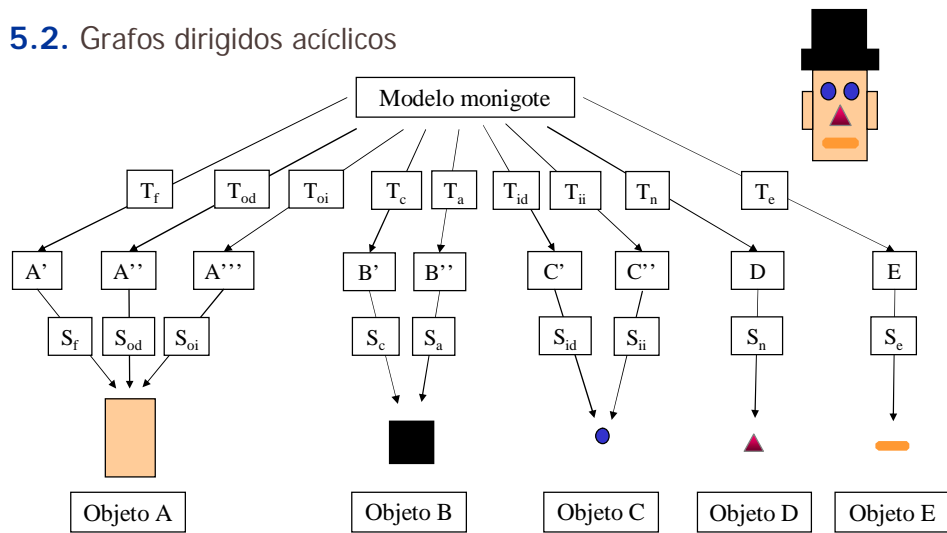
## 5.2. Grafos dirigidos acíclicos



70

## 5. Modelos jerárquicos

### 5.2. Grafos dirigidos acíclicos



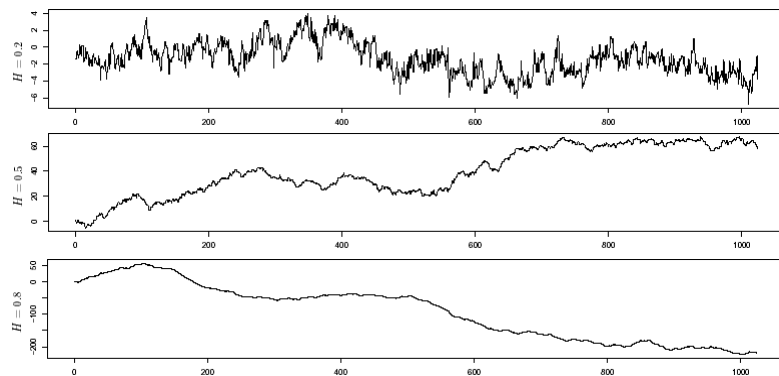
71

## Anexo I. Objetos naturales

Movimiento Browniano fraccional en una dimensión

$$\text{var}(Y(t_i) - Y(t_j)) \propto |t_i - t_j|^{2H}$$

$Y(t)$ , e  $(1/r^H)Y(rt)$  son indistinguibles



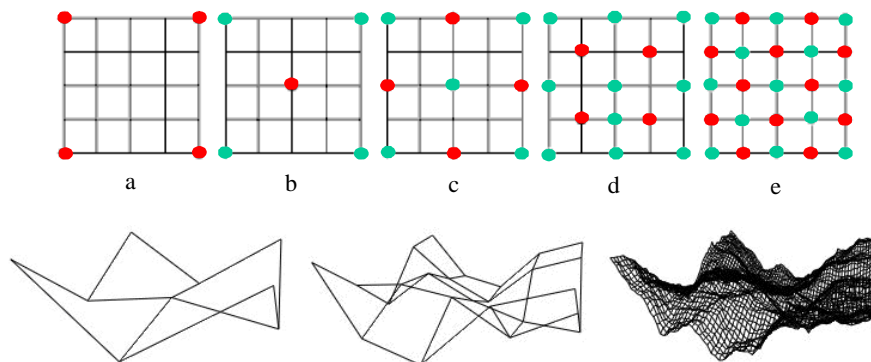
72

## Anexo I. Objetos naturales

Modelado de montañas: Movimiento Browniano fraccional en dos dimensiones

$$\text{var}(Y(t_i, s_k) - Y(t_j, s_l)) \propto ((t_i - t_j)^2 + (s_k - s_l)^2)^H$$

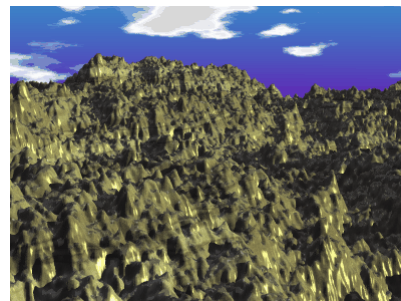
- Algoritmo de desplazamiento por el punto medio



73

## Anexo I. Objetos naturales

Modelado de montañas: Movimiento Browniano fraccional en dos dimensiones



74

## Anexo I. Objetos naturales

Modelado de Plantas: Sistemas L (Lindenmayer) (<http://algorithmicbotany.org/>)

$w : a$   
 $p_1 : a \rightarrow ab$   
 $p_2 : b \rightarrow a$

a, ab, aba, abaab abaababa

a, b factores de escala

$\delta = 20^\circ$

$w : F$

$p : [F] \rightarrow F[-bF]aF[+F][bF]$

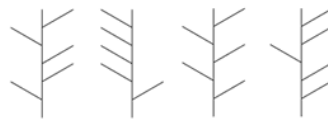


75

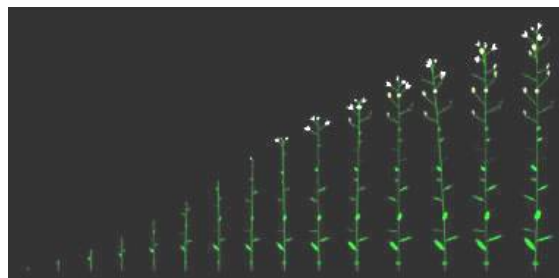
## Anexo I. Objetos naturales

- Sistemas L paramétricos: una regla de producción por cada símbolo
- Sistemas L estocásticos: más de una regla de producción por símbolo

$p \rightarrow \begin{cases} 0.5 : [+FF]FA \\ 0.5 : [-FF]FA \end{cases}$



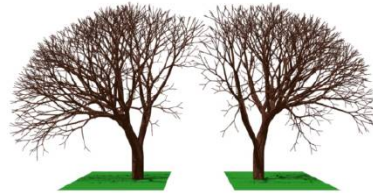
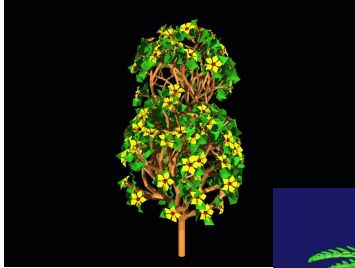
- Sistemas L temporales



76

## Anexo I. Objetos naturales

Modelado de Plantas: Sistemas L (Lindenmayer)



77

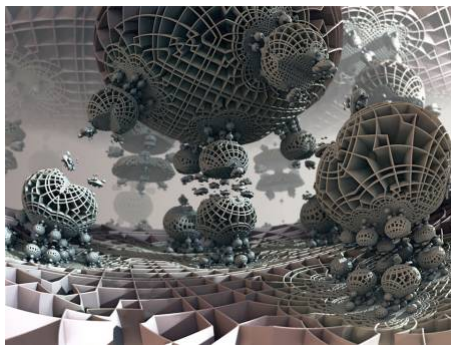
## Anexo I. Objetos naturales

Software sobre fractales

<http://mandelbulb.com/>

[http://algorithmicbotany.org/virtual\\_laboratory/](http://algorithmicbotany.org/virtual_laboratory/)

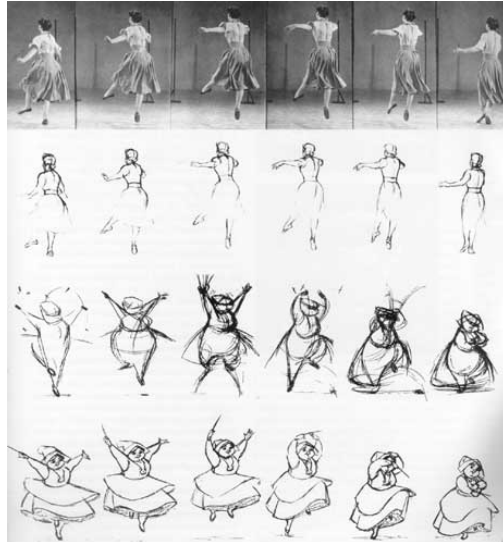
<http://planetside.co.uk/whats-new-in-terrigen-4/>



78

## Anexo II. Rotoscoping 3D

- Rotoscoping 2D: técnica clásica para capturar el movimiento (Max Fleischer 1914)



79

## Anexo II. Rotoscoping 3D

- Ejemplos de películas 2D



80



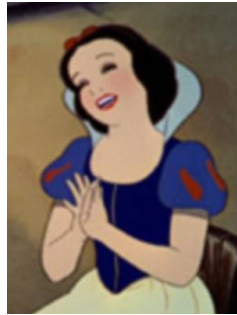
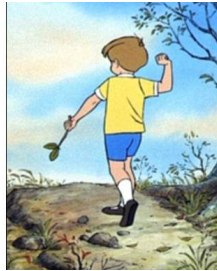
## Diapositiva 80

---

pp1 "A Scanner Darkly " Una mirada oscura 2006  
El señor de los anillos 1978  
pp; 21/04/2008

## Anexo II. Rotoscoping 3D

- "How Disney recycled its classic cartoons"



81

## Anexo II. Rotoscoping 3D

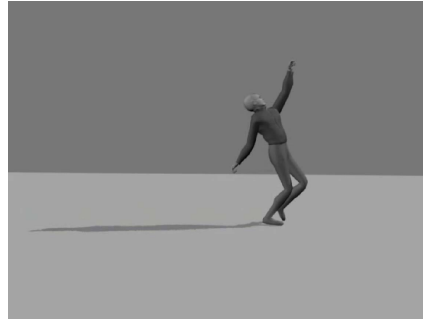
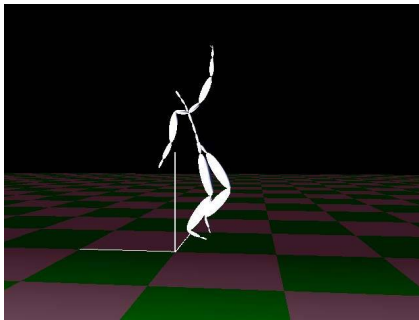
- Dispositivos para capturar el movimiento
  - Electromagnéticos
  - Electromecánicos
  - Fibra óptica
  - Ópticos



82

## Anexo II. Rotoscoping 3D

- Dos tipos de ficheros para describir el movimiento
  - Esqueleto (.asf). Contiene las características biométricas y la jerarquía de las articulaciones del modelo
  - Datos angulares (.amc). Contiene los valores de los ángulos de rotación de las articulaciones para cada **frame**



83

## Anexo II. Rotoscoping 3D

- Esqueleto (.asf)
  - Cabecera, huesos, jerarquía

```
:version 1.10
:name BioSkeleton
:units
mass 1.0
length 1.0
angle deg
:documentation
Example of an ASF file
:root
axis XYZ
order TX TY TZ RZ RY RX
position 0.0 0.0 0.0
orientation 0.0 0.0 0.0
:bonedata
```

Cabecera

```
begin
id bone_id          // identificador del hueso
name bone_name      // nombre del hueso
direction dX dY dZ  // vector de dirección en
                    // coordenadas mundiales
length 7.01722      // longitud del hueso
axis 0 0 20 XYZ     // rotaciones iniciales
dof rx ry rz        // grados de libertad
limits (-160.0 20.0)
                  (-70.0 70.0)
                  (-60.0 70.0) // límites de rotaciones
end
```

Huesos

84

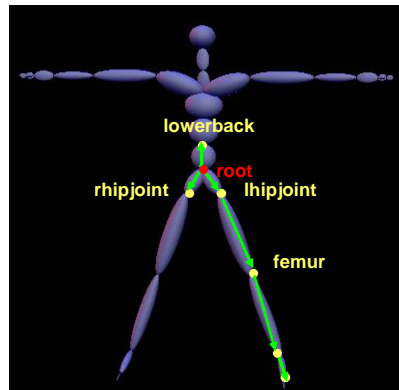
## Anexo II. Rotoscoping 3D

- Esqueleto (.asf)
  - Cabecera, huesos, jerarquía

```

begin
  root lhipjoint rhipjoint lowerback
  lhipjoint lfemur
  lfemur ltibia
  ltibia lfoot
  lfoot ltoes
  rhipjoint rfemur
  rfemur rtibia
  rtibia rfoot
  rfoot rtoes
  lowerback upperback
  upperback thorax
  thorax lowerneck lclavicle rclavicle
  ...
end

```



Jerarquía

85

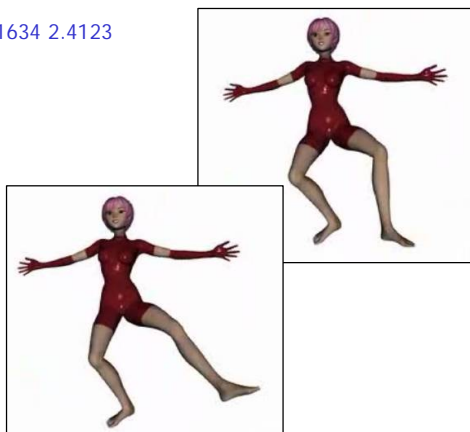
## Anexo II. Rotoscoping 3D

- Datos angulares (.amc)

```

n // número de frame
root 18.0963 17.7682 -7.76048 0.944532 -46.1634 2.4123
lowerback 4.28681 -0.118085 -2.68161
upperback -0.0248133 -0.290989 0.0933187
thorax -2.41568 -0.11332 1.61874
lowerneck -22.4034 -5.47014 -9.7586
upperneck 25.4448 -7.16285 9.12669
head 12.9471 -2.96253 3.88887
rclavicle -8.95214e-014 1.76918e-014
rhumerus -38.9866 -9.5565 -84.0352
rradius 33.5224
rwrist 3.10481
rhand -14.7847 9.11536
rfingers 7.12502
...

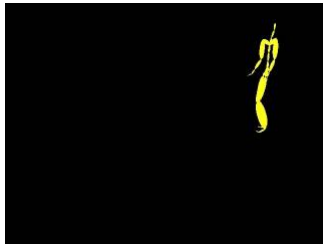
```



86

## Anexo II. Rotoscoping 3D

- Bibliotecas: <http://mocap.cs.cmu.edu/tools.php>  
<http://www.mocapclub.com/Pages/Library.htm>  
<https://sites.google.com/a/cgspeed.com/cgspeed/motion-capture>



87